

非圆信号方位、俯仰及初相联合估计

刘剑^{①②} 黄知涛^① 周一宇^①

^①(国防科技大学电子科学与工程学院 长沙 410073)

^②(空军工程大学电讯工程学院 西安 710077)

摘要: 该文利用双平行线阵的阵列结构, 提出了用于非圆信号二维方向和初相联合估计的扩展 MUSIC(EN-MUSIC)算法。EN-MUSIC 算法估计得到的方位角、俯仰角与初相一一对应, 自动配对, 其可测向信号数大于子阵阵元数, 方位及俯仰测角精度与非圆信号二维测向西 ESPRIT(2D-NC-UESPRIT)算法大致相当, 优于波达方向矩阵法(DOAM)。

关键词: 阵列信号处理; 二维测向; 非圆信号; MUSIC

中图分类号: TN911.7

文献标识码: A

文章编号: 1009-5896(2008)07-1666-05

Joint 2-D Angle and Noncircularity Phase Estimation

Liu Jian^{①②} Huang Zhi-tao^① Zhou Yi-yu^①

^①(School of Electronic Science and Engineering, National University of Defense Technology, Changsha 410073, China)

^②(Telecommunication Engineering College, Airforce Engineering University, Xi'an 710077, China)

Abstract: A novel joint 2-D angle and noncircularity phase estimation for noncircular signals using dual parallel linear subarrays called extended NC-MUSIC (EN-MUSIC) algorithm is presented. The azimuth, the elevation and the noncircularity phases estimated by EN-MUSIC are paired automatically. The resolvable number of sources for EN-MUSIC can be larger than the number of sensors of each subarray. The estimation precision of 2-D angles by EN-MUSIC algorithm is approximately equal to two dimensional unitary ESPRIT for noncircular signals (2D-NC-UESPRIT), and is better than the DOA Matrix (DOAM) algorithm.

Key words: Array signal processing; 2-D direction finding; Noncircular signals; MUSIC

1 引言

近年来, 对通信系统中大量使用的 BPSK 等非圆信号测向受到越来越多的关注^[1-6], Galy 提出了用于非圆信号测向的 MUSIC(NC-MUSIC)算法, Charge 等针对均布线阵用多项式求根代替了 NC-MUSIC 算法中的搜索过程, 提出了 NC-root-MUSIC 算法^[3], Delmas 提出了渐近最小方差非圆信号测向算法^[5], Haardt 等将西 ESPRIT 用于非圆信号测向^[2,4], Abeida 等分析了非圆信号测向算法的性能及 Cramer-Rao 限 (CRB)^[1,6]。因为利用了信号的非圆特性, 非圆信号测向算法可分辨的信号数增多了, 测角精度也得到了提高。

到目前为止, 非圆信号二维测向的研究甚少, 除 Haardt 等^[2,4]提出将二维西 ESPRIT 用于非圆信号测向外, 公开文献尚未报道其它二维非圆信号测向算法。本文在 NC-MUSIC 算法的基础上, 利用双平行线阵的阵列结构, 提出了非圆信号二维方向与初相联合估计的扩展 MUSIC(EN-MUSIC)算法, 估计得到的方位角、俯仰角和信号初相一一对应, 自动配对。EN-MUSIC 算法可对多于子阵阵元数的信号进行测

向, 方位和俯仰测角精度与非圆信号二维测向西 ESPRIT (2D-NC-UESPRIT)大致相当, 优于同样基于双平行线阵阵列结构的二维测向算法——波达方向矩阵法(DOAM)^[7]。

2 信号模型

2.1 信号模型

如图 1 所示, 这里所用的阵列由两个相互平行的子阵 X_a 和 Y_a 组成, X_a , Y_a 均为具有 M 个阵元的均布线阵且具有相同的阵元间距 d_x , 两个子阵间的距离为 d_y 。假设阵列位于远场, 阵元为全向的, 频率相同的 D 个不相关窄带信号入射到阵列上, 信号 i 与 X , Y , Z 轴的夹角分别为 α_i , β_i , γ_i , 显然有 $\cos^2 \alpha_i + \cos^2 \beta_i + \cos^2 \gamma_i = 1$, 所以信号 i 的入射方向可由 (α_i, β_i) 唯一确定。称 α_i, β_i 分别为方位角和俯仰角, 并认为信号数 D 已知或已估计得到了。上标 “*” 表示共轭, “T” 表示转置, “H” 表示共轭转置。子阵 X_a , Y_a 在时刻 t 的输出矢量分别为^[7]

$$\mathbf{x}(t) = [x_1(t), x_2(t), \dots, x_M(t)]^T = \mathbf{A}\mathbf{s}(t) + \mathbf{n}_x(t) \quad (1)$$

$$\mathbf{y}(t) = [y_1(t), y_2(t), \dots, y_M(t)]^T = \mathbf{A}\Psi\mathbf{s}(t) + \mathbf{n}_y(t) \quad (2)$$

式中 $\mathbf{s}(t) = [s_1(t), s_2(t), \dots, s_D(t)]^T$ 为信号矢量, $\mathbf{n}_x(t) = [n_{x1}(t), n_{x2}(t), \dots, n_{xM}(t)]^T$ 与 $\mathbf{n}_y(t) = [n_{y1}(t), n_{y2}(t), \dots, n_{yM}(t)]^T$ 分别为

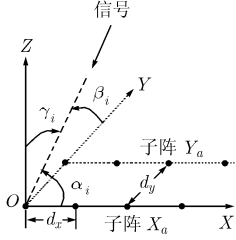


图1 双平行线阵结构

子阵 X_a 和子阵 Y_a 的噪声矢量, $\mathbf{A} = [\mathbf{a}(\alpha_1), \mathbf{a}(\alpha_2), \dots, \mathbf{a}(\alpha_D)]$ 为方位矩阵, 仅与方位角 α 有关, 其中 $\mathbf{a}(\alpha) = \begin{bmatrix} 1, e^{-j\frac{2\pi}{\lambda}d_x \cos \alpha}, \dots, e^{-j\frac{2\pi}{\lambda}(M-1)d_x \cos \alpha} \end{bmatrix}^T$ 为方位矢量, λ 为波长。 Ψ 为只与俯仰角 β 有关的俯仰矩阵, 为对角阵, $\Psi = \text{diag}\{e^{j\varphi_1}, e^{j\varphi_2}, \dots, e^{j\varphi_D}\}$, $\varphi_i = -\frac{2\pi}{\lambda}d_y \cos \beta_i$ 。假设信号为不相关的零均值平稳随机过程, 信号 $s_i(t)$ ($i = 1, 2, \dots, D$) 的功率为 $\sigma_{s,i}^2$, 噪声为复圆高斯白噪声, 每个阵元上的噪声功率均为 σ_n^2 , 信号与噪声不相关。

2.2 非圆信号的定义及表示

本文对非圆信号采用二阶定义。对于信号 s , 如果其任意旋转 $se^{j\theta}$ 的一阶和二阶统计特性具有旋转不变性, 即 $E\{se^{j\theta}\} = E\{s\}$, $E\{se^{j\theta}(se^{j\theta})^*\} = E\{ss^*\}$, $E\{se^{j\theta} \cdot se^{j\theta}\} = E\{ss\}$, 则称 s 为圆信号。于是 s 为圆信号等价于 $E\{s\} = 0$, $E\{ss^*\} \neq 0$ 且 $E\{ss\} = 0$ 。如果 $se^{j\theta}$ 的一阶和二阶统计特性不具有旋转不变性, 即 $E\{ss\} \neq 0$ 则称 s 为非圆信号(本文已假设信号为零均值的)。经典测向算法是针对圆信号设计的, 没有利用 $E\{ss\}$ 中的信息, 非圆信号测向算法同时利用 $E\{ss^*\}$ 和 $E\{ss\}$, 提高了信息利用率, 从而算法性能得以提升。

对任意信号 s , 有^[1]

$$E\{s^2\} = \rho e^{j\phi} E\{ss^*\} = \rho e^{j\phi} \sigma_s^2 \quad (3)$$

式中 ϕ 为非圆相位, ρ 为信号的非圆率, 由 Cauchy-Schwartz 不等式得 $0 \leq \rho \leq 1$ 。显然, 当 $0 < \rho \leq 1$ 时信号是非圆的。 ρ 由信号形式决定, 一旦信号形式确定则 ρ 就确定了, 对于理想 BPSK 信号, $\rho = 1$ 。不难证明: 非圆率为 1 的信号总可以由实信号的移相得到。本文只研究 $\rho = 1$ 的情况, 此时, 非圆信号矢量 \mathbf{s} 可写成如下形式^[2]

$$\mathbf{s} = \Phi^{1/2} \mathbf{s}_0 \quad (4)$$

式中 $\mathbf{s}_0 = [s_{0,1}, s_{0,2}, \dots, s_{0,D}]^T \in \mathbb{R}$, $s_{0,i}$ 为信号 s_i 对应的零初相实信号, 对角矩阵 $\Phi^{1/2} = \text{diag}\{e^{j\phi_i/2}\}_{i=1}^D$, $\phi_i/2$ 为信号 s_i 的初相, 为非圆相位的一半。

3 EN-MUSIC 算法

NC-MUSIC 算法对含有非圆信息的扩展协方差矩阵进行特征分解, 利用 MUSIC 算法的思想得到以方位和非圆相

位为变量的空间谱函数, 再利用二次型的性质将二维搜索化为一维搜索或求根^[3], 求得信号方位和非圆相位。本文提出的 EN-MUSIC 算法对进一步扩展的含有方位、俯仰和非圆相位信息的协方差矩阵进行特征分解, 用类似于 NC-MUSIC 的方法得到方位、俯仰和信号初相(或非圆相位)的联合估计。

由式(1), 子阵 X_a 输出 $\mathbf{x}(t)$ 的自协方差矩阵为

$$\mathbf{R}_{xx} = E\{\mathbf{x}(t)\mathbf{x}^H(t)\} = \mathbf{A}\mathbf{\Gamma}_s\mathbf{A}^H + \sigma_n^2\mathbf{I}_M \quad (5)$$

式中 \mathbf{I}_M 为 $M \times M$ 的单位矩阵, 对角矩阵 $\mathbf{\Gamma}_s = E\{\mathbf{s}(t)\mathbf{s}^H(t)\}$ 为信号的自协方差矩阵。由式(3), 式(4)可得, $E\{\mathbf{s}(t)\mathbf{s}^T(t)\} = \Phi\mathbf{\Gamma}_s$ 。于是可得 $\mathbf{x}(t)$ 的共轭自协方差矩阵为

$$\mathbf{R}_{xx^*} = E\{\mathbf{x}(t)\mathbf{x}^T(t)\} = E\{\mathbf{A}\mathbf{s}(t)\mathbf{s}^T(t)\mathbf{A}^T\} = \mathbf{A}\mathbf{\Gamma}_s\Phi\mathbf{A}^T \quad (6)$$

同理可得互协方差矩阵和共轭互协方差矩阵

$$\mathbf{R}_{xy} = E\{\mathbf{x}(t)\mathbf{y}^H(t)\} = \mathbf{A}\mathbf{\Gamma}_s\mathbf{\Psi}^*\mathbf{A}^H \quad (7)$$

$$\mathbf{R}_{yx^*} = E\{\mathbf{y}(t)\mathbf{x}^T(t)\} = \mathbf{A}\mathbf{\Psi}\mathbf{\Gamma}_s\Phi\mathbf{A}^T \quad (8)$$

用这 4 个矩阵构造一个扩展协方差矩阵

$$\begin{aligned} \mathbf{R}_E &= \begin{bmatrix} \mathbf{R}_{xx} & \mathbf{R}_{xx^*} & \mathbf{R}_{xy} \\ \mathbf{R}_{xx^*}^H & \mathbf{R}_{xx}^* & \mathbf{R}_{xy}^H \\ \mathbf{R}_{xy}^H & \mathbf{R}_{yx^*} & \mathbf{R}_{xx} \end{bmatrix} \\ &= \begin{bmatrix} \mathbf{A}\mathbf{\Gamma}_s\mathbf{A}^H & \mathbf{A}\mathbf{\Gamma}_s\Phi\mathbf{A}^T & \mathbf{A}\mathbf{\Gamma}_s\mathbf{\Psi}^*\mathbf{A}^H \\ \mathbf{A}^*\Phi^*\mathbf{\Gamma}_s\mathbf{A}^H & \mathbf{A}^*\mathbf{\Gamma}_s\mathbf{A}^T & \mathbf{A}^*\Phi^*\mathbf{\Gamma}_s\mathbf{\Psi}^*\mathbf{A}^H \\ \mathbf{A}\mathbf{\Psi}\mathbf{\Gamma}_s\mathbf{A}^H & \mathbf{A}\mathbf{\Psi}\mathbf{\Gamma}_s\Phi\mathbf{A}^T & \mathbf{A}\mathbf{\Gamma}_s\mathbf{A}^H \end{bmatrix} + \sigma_n^2\mathbf{I}_{3M} \\ &= \begin{bmatrix} \mathbf{A} \\ \mathbf{A}^*\Phi^* \\ \mathbf{A}\mathbf{\Psi} \end{bmatrix} \mathbf{\Gamma}_s \begin{bmatrix} \mathbf{A} \\ \mathbf{A}^*\Phi^* \\ \mathbf{A}\mathbf{\Psi} \end{bmatrix}^H + \sigma_n^2\mathbf{I}_{3M} \end{aligned} \quad (9)$$

式中 \mathbf{I}_{3M} 为 $3M \times 3M$ 的单位矩阵。扩展协方差矩阵的其它构造形式在下一节讨论。显然, \mathbf{R}_E 中含有方位、俯仰和信号初相信息, 为得到其联合估计, 对 \mathbf{R}_E 进行特征分解

$$\mathbf{R}_E = \mathbf{U}\mathbf{\Sigma}\mathbf{U}^H \quad (10)$$

\mathbf{U} 的第 $D+1$ 到第 $3M$ 列组成的矩阵记为 \mathbf{U}_n , 张成噪声子空间, 于是信号的方位、俯仰和非圆相位可最小化下式得到

$$J(\alpha, \phi, \varphi) = \mathbf{b}^H(\alpha, \phi, \varphi)\mathbf{U}_n\mathbf{U}_n^H\mathbf{b}(\alpha, \phi, \varphi) \quad (11)$$

式中

$$\mathbf{b}(\alpha, \phi, \varphi) = \begin{bmatrix} \mathbf{a}(\alpha) \\ \mathbf{a}^*(\alpha)e^{-j\phi} \\ \mathbf{a}(\alpha)e^{j\varphi} \end{bmatrix} = \begin{bmatrix} \mathbf{a}(\alpha) & \mathbf{0} & \mathbf{0} \\ \mathbf{0} & \mathbf{a}^*(\alpha) & \mathbf{0} \\ \mathbf{0} & \mathbf{0} & \mathbf{a}(\alpha) \end{bmatrix} \begin{bmatrix} 1 \\ e^{-j\phi} \\ e^{j\varphi} \end{bmatrix} \quad (12)$$

称为扩展导向矢量。为避免对 α , ϕ 和 φ 的三维搜索, 将 \mathbf{U}_n 分块为具有相同行数的 3 个子矩阵^[3]

$$\mathbf{U}_n = \begin{bmatrix} \mathbf{U}_{n1} \\ \mathbf{U}_{n2} \\ \mathbf{U}_{n3} \end{bmatrix} \quad (13)$$

则式(11)可写成

$$J(\alpha, \phi, \varphi) = \mathbf{p}^H\mathbf{M}\mathbf{p} \quad (14)$$

式中 $\mathbf{p} = \begin{bmatrix} 1 \\ e^{-j\phi} \\ e^{j\varphi} \end{bmatrix}$, \mathbf{M} 为 3×3 矩阵

$$\mathbf{M} = \begin{bmatrix} \mathbf{a}(\alpha) & \mathbf{0} & \mathbf{0} \\ \mathbf{0} & \mathbf{a}^*(\alpha) & \mathbf{0} \\ \mathbf{0} & \mathbf{0} & \mathbf{a}(\alpha) \end{bmatrix}^H \begin{bmatrix} \mathbf{U}_{n1} \\ \mathbf{U}_{n2} \\ \mathbf{U}_{n3} \end{bmatrix} \begin{bmatrix} \mathbf{U}_{n1} \\ \mathbf{U}_{n2} \\ \mathbf{U}_{n3} \end{bmatrix}^H = \begin{bmatrix} A & B & C \\ D & E & F \\ G & H & I \end{bmatrix} \quad (15)$$

式中 $A = \mathbf{a}^H(\alpha)\mathbf{U}_{n1}\mathbf{U}_{n1}^H\mathbf{a}(\alpha)$, $B = \mathbf{a}^H(\alpha)\mathbf{U}_{n1}\mathbf{U}_{n2}^H\mathbf{a}^*(\alpha)$, $C = \mathbf{a}^H(\alpha)\mathbf{U}_{n1}\mathbf{U}_{n3}^H\mathbf{a}(\alpha)$, $D = \mathbf{a}^T(\alpha)\mathbf{U}_{n2}\mathbf{U}_{n1}^H\mathbf{a}(\alpha)$, $E = \mathbf{a}^T(\alpha)\mathbf{U}_{n2}\mathbf{U}_{n2}^H\mathbf{a}^*(\alpha)$, $F = \mathbf{a}^T(\alpha)\mathbf{U}_{n2}\mathbf{U}_{n3}^H\mathbf{a}(\alpha)$, $G = \mathbf{a}^H(\alpha)\mathbf{U}_{n3}\mathbf{U}_{n1}^H\mathbf{a}(\alpha)$, $H = \mathbf{a}^H(\alpha)\mathbf{U}_{n3}\mathbf{U}_{n2}^H\mathbf{a}^*(\alpha)$, $I = \mathbf{a}^H(\alpha)\mathbf{U}_{n3}\mathbf{U}_{n3}^H\mathbf{a}(\alpha)$ 。

式(14)中 J 为二次型, 其最小值由 \mathbf{M} 的最小特征值得到, J 取最小值时 \mathbf{p} 为最小特征值对应的特征向量。因为 \mathbf{M} 为 Hermitian 矩阵, 所以其最小特征值为 0。亦即, 若 α 为真实方位角, 则 \mathbf{M} 的行列式等于 0。于是定义空间谱函数

$$f(\alpha) = \det\{\mathbf{M}\} \quad (16)$$

考虑到实际中有限采样等方面的因素, 对空间谱函数式(16)搜索极小值或求根可得信号方位角的估计值。求得方位角后, 对应于任一个方位角 α_i , 由 $\mathbf{M}\mathbf{p} = \mathbf{0}$, 即

$$\left. \begin{aligned} A(\alpha_i) + B(\alpha_i)e^{-j\phi_i} + C(\alpha_i)e^{j\varphi_i} &= 0 \\ D(\alpha_i) + E(\alpha_i)e^{-j\phi_i} + F(\alpha_i)e^{j\varphi_i} &= 0 \\ G(\alpha_i) + H(\alpha_i)e^{-j\phi_i} + I(\alpha_i)e^{j\varphi_i} &= 0 \end{aligned} \right\} \quad (17)$$

可求得信号的俯仰角及初相。式(17)为典型的最小二乘问题,

$$\text{令 } \mathbf{J}(\alpha_i) = \begin{bmatrix} -A(\alpha_i) \\ -D(\alpha_i) \\ -G(\alpha_i) \end{bmatrix}, \quad \mathbf{K}(\alpha_i) = \begin{bmatrix} B(\alpha_i) & C(\alpha_i) \\ E(\alpha_i) & F(\alpha_i) \\ H(\alpha_i) & I(\alpha_i) \end{bmatrix}, \quad [\mathbf{K}^H(\alpha_i)$$

$$\cdot \mathbf{K}(\alpha_i)]^{-1} \mathbf{K}^H(\alpha_i) \mathbf{J}(\alpha_i) = \begin{bmatrix} m_1(\alpha_i) \\ m_2(\alpha_i) \end{bmatrix}, \quad \text{则}$$

$$m_1(\alpha_i) = e^{-j\phi_i}, \quad m_2(\alpha_i) = e^{j\varphi_i} \quad (18)$$

所以入射信号的非圆相位和俯仰角分别为

$$\phi_i = j \ln[m_1(\alpha_i)] \quad (19)$$

$$\beta_i = \arccos \left\{ \frac{j\lambda}{2\pi d_y} \ln[m_2(\alpha_i)] \right\} \quad (20)$$

可见, EN-MUSIC 算法的方位角、俯仰角与非圆相位(或信号初相)一一对应, 无需配对, 这一点与 2D-NC-UESPRIT 和 DOAM 类似。由于 EN-MUSIC 算法先估计得到方位角再估计俯仰角, 俯仰角是否相同不影响方位角的估计, 所以信号俯仰角相同(称为俯仰角兼并)时仍可测向。2D-NC-UESPRIT 算法也可以处理俯仰角兼并的信号, 而此时 DOAM 已失效。

\mathbf{U}_n 为 $3M \times (3M - D)$ 的, 所以 $\text{rank}(\mathbf{U}_n \mathbf{U}_n^H) \leq 3M - D$, 又由 EN-MUSIC 算法原理可知, 只有在真实方位角处矩阵 \mathbf{M} 秩损, 所以 $\text{rank}(\mathbf{U}_n \mathbf{U}_n^H) \geq 3$, 故 $D \leq 3(M-1)$, 即 EN-MUSIC 算法的最大可测向信号数为 $3(M-1)$ 个。如果入射信号俯仰角均相同, 则等效导向矢量为 $(2M+1) \times 1$ 的矢量, 所以 $\text{rank}(\mathbf{U}_n \mathbf{U}_n^H) \leq 2M+1-D$, 又 $\text{rank}(\mathbf{U}_n \mathbf{U}_n^H) \geq 3$, 所以 $D \leq 2(M-1)$, 即入射信号俯仰角相同时 EN-MUSIC 算法的最大可测向信号数为 $2(M-1)$ 个。

4 扩展协方差矩阵构造方法的讨论

由上节可见, 扩展协方差矩阵式(9)中含有方位、俯仰和信号初相的信息, 所以得到了三者的联合估计。实际上, 我们亦可以如下构造扩展协方差矩阵

$$\begin{aligned} \mathbf{R}_{E1} &= \begin{bmatrix} \mathbf{R}_{xx} & \mathbf{R}_{xx}^* & \mathbf{R}_{yx}^T \\ \mathbf{R}_{xx}^* & \mathbf{R}_{xx}^* & \mathbf{R}_{yx}^T \\ \mathbf{R}_{yx}^* & \mathbf{R}_{yx}^* & \mathbf{R}_{xx}^* \end{bmatrix} \\ &= \begin{bmatrix} \mathbf{A}\mathbf{\Gamma}_s\mathbf{A}^H & \mathbf{A}\mathbf{\Gamma}_s\mathbf{\Phi}\mathbf{A}^T & \mathbf{A}\mathbf{\Gamma}_s\mathbf{\Psi}\mathbf{\Phi}\mathbf{A}^T \\ \mathbf{A}^*\mathbf{\Phi}^*\mathbf{\Gamma}_s\mathbf{A}^H & \mathbf{A}^*\mathbf{\Gamma}_s\mathbf{A}^T & \mathbf{A}^*\mathbf{\Gamma}_s\mathbf{\Psi}\mathbf{A}^T \\ \mathbf{A}^*\mathbf{\Phi}^*\mathbf{\Psi}^*\mathbf{\Gamma}_s\mathbf{A}^H & \mathbf{A}^*\mathbf{\Psi}^*\mathbf{\Gamma}_s\mathbf{A}^T & \mathbf{A}^*\mathbf{\Gamma}_s\mathbf{A}^T \end{bmatrix} + \sigma_n^2 \mathbf{I}_{3M} \\ &= \begin{bmatrix} \mathbf{A} \\ \mathbf{A}^*\mathbf{\Phi}^* \\ \mathbf{A}^*\mathbf{\Phi}^*\mathbf{\Psi}^* \end{bmatrix} \mathbf{\Gamma}_s \begin{bmatrix} \mathbf{A} \\ \mathbf{A}^*\mathbf{\Phi}^* \\ \mathbf{A}^*\mathbf{\Phi}^*\mathbf{\Psi}^* \end{bmatrix}^H + \sigma_n^2 \mathbf{I}_{3M} \end{aligned} \quad (21)$$

式中 $\mathbf{R}_{yx} = E\{\mathbf{y}(t)\mathbf{x}^H(t)\} = \mathbf{A}\mathbf{\Psi}\mathbf{\Gamma}_s\mathbf{A}^H$ 。类似于式(10)–式(20)的步骤, 亦可以得到方位角、俯仰角及信号初相的联合估计。式(9)和式(21)的构造有一定的技巧性, 下面给出直观方便的构造方法。如果定义扩展阵列输出为

$$\mathbf{x}_E(t) = \begin{bmatrix} \mathbf{x}(t) \\ \mathbf{x}^*(t) \\ \mathbf{y}(t) \end{bmatrix} \quad (22)$$

则扩展协方差矩阵 \mathbf{R}_E 可表示为

$$\mathbf{R}_E = E\{\mathbf{x}_E(t)\mathbf{x}_E^H(t)\} \quad (23)$$

同理可定义

$$\mathbf{x}_{E1}(t) = \begin{bmatrix} \mathbf{x}(t) \\ \mathbf{x}^*(t) \\ \mathbf{y}^*(t) \end{bmatrix} \quad (24)$$

则扩展协方差矩阵 \mathbf{R}_{E1} 可表示为

$$\mathbf{R}_{E1} = E\{\mathbf{x}_{E1}(t)\mathbf{x}_{E1}^H(t)\} \quad (25)$$

此时扩展导向矢量为

$$\mathbf{b}_1(\alpha, \phi, \varphi) = \begin{bmatrix} \mathbf{a}(\alpha) \\ \mathbf{a}^*(\alpha)e^{-j\phi} \\ \mathbf{a}^*(\alpha)e^{-j\phi}e^{-j\varphi} \end{bmatrix} \quad (26)$$

式(9)和式(23)以及式(21)和式(25)在理论上是相同的,

但实际计算中, 式(9)和式(21)可以只需计算部分元素, 所以计算量较小。另外, 使用 \mathbf{R}_{E1} 时俯仰角的估计要依赖于初相的估计, 增加了计算量和计算误差。

不考虑行的顺序, 还可以令扩展阵列输出为 $\mathbf{x}_{E2}(t) =$

$$\begin{bmatrix} \mathbf{x}(t) \\ \mathbf{y}(t) \\ \mathbf{y}^*(t) \end{bmatrix} \text{ 和 } \mathbf{x}_{E3}(t) = \begin{bmatrix} \mathbf{x}^*(t) \\ \mathbf{y}(t) \\ \mathbf{y}^*(t) \end{bmatrix}, \text{ 对应的扩展导向矢量分别为}$$

$$\mathbf{b}_2(\alpha, \phi, \varphi) = \begin{bmatrix} \mathbf{a}(\alpha) \\ \mathbf{a}(\alpha)e^{j\varphi} \\ \mathbf{a}^*(\alpha)e^{-j\varphi}e^{-j\phi} \end{bmatrix} \text{ 和 } \mathbf{b}_3(\alpha, \phi, \varphi) = \begin{bmatrix} \mathbf{a}^*(\alpha) \\ \mathbf{a}(\alpha)e^{j\varphi}e^{j\phi} \\ \mathbf{a}^*(\alpha)e^{j\varphi} \end{bmatrix}, \text{ 对}$$

应的扩展协方差矩阵可类似式(9)和式(21)得到, 也可以对这两个扩展阵列输出直接求协方差矩阵, 而前者的计算量小于后者。另外, 这两种扩展方法的初相估计都要依赖于俯仰角估计, 其计算误差会略大。

类似于上节的分析, 扩展阵列输出采用 $\mathbf{x}_{E1}(t)$, $\mathbf{x}_{E2}(t)$ 和 $\mathbf{x}_{E3}(t)$ 时, 算法最多可对 $3(M-1)$ 个信号进行二维方向和初相的联合估计, 俯仰角相同条件下最多可对 $2(M-1)$ 个信号进行联合估计。

5 性能仿真

本节对 EN-MUSIC 算法进行计算机仿真实验, 验证其性能。仿真中每一子阵均为均布三元线阵, 阵元间距半波长, 信号形式 BPSK, 噪声为加性高斯圆复白噪声, 扩展协方差矩阵的计算采用式(23)。本文算法与波达方向矩阵法(DOAM)有许多相似之处: 都采用双平行线阵, 都不需要方位角与俯仰角的配对, 所以测向性能仿真分析将与 DOAM 算法比较, 同时也与公开文献中仅有的非圆信号二维测向算法——二维酉 ESPRIT(2D-NC-UESPRIT)进行了比较。

假设 6 个 BPSK 信号从 $[40^\circ, 75^\circ]$, $[60^\circ, 75^\circ]$, $[80^\circ, 75^\circ]$, $[100^\circ, 75^\circ]$, $[120^\circ, 95^\circ]$, $[140^\circ, 95^\circ]$ 入射, 其初相分别为 $[15^\circ, 30^\circ, 45^\circ, 60^\circ, 75^\circ, 85^\circ]$, 信噪比均为 15dB, 快拍数 200, 图 2 所示为 EN-MUSIC 算法采用 $M=3$ 的双平行线阵对 6 个入射信号进行测向的结果, 表 1 为 6 个信号初相均值和均方根误差(RMSE)的统计。测向结果为 300 次独立仿真结果的叠加, 初相估计为此 300 次结果的统计。对于子阵阵元数 $M > 2$ 的阵列且快拍数远大于 M 时, DOAM 只能对 $(M-1)$ 个信号测向, 2D-NC-UESPRIT 只能对 $2(M-1)$ 个非圆信号测向^[2], 而 EN-MUSIC 算法由于对方位矩阵进行了扩展, 俯仰角又与方位角一一对应, 所以可对 $3(M-1)$ 个非圆信号测向。另外, DOAM 不能处理俯仰角兼并的情况, 而 EN-MUSIC 和 2D-NC-UESPRIT 算法仍有效, EN-MUSIC 最多可对 $2(M-1)$ 个俯仰角相同的信号测向。图 2 验证了 EN-MUSIC 算法最大可测向信号数和俯仰兼并时最大可测向信号数的结论。

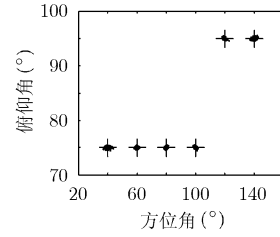


图 2 EN-MUSIC 算法的测向结果($M=3$)

表 1 6 个信号初相的估计结果($^\circ$)

初相	15	30	45	60	75	85
均值	15.032	30.064	44.981	59.963	74.979	85.028
RMSE	0.8521	1.2213	0.9354	0.8895	0.8774	1.1932

假设两个 BPSK 信号从 $[75^\circ, 75^\circ]$, $[85^\circ, 85^\circ]$ 入射, 初相的取值均为 0, 图 3 所示为信噪比由 0dB 到 20dB 变化时 EN-MUSIC, 2D-NC-UESPRIT 和 DOAM 的测角均方根误差(RMSE)比较。仿真中, 快拍数为 500, RMSE 由 300 次测角结果的统计得到。图 4 所示为 10dB 信噪比下快拍数对 EN-MUSIC, 2D-NC-UESPRIT 和 DOAM 的测角 RMSE 的影响。图 3 和图 4 中给出的都是第 1 个信号的测向结果, 第 2 个信号的测向结果与第 1 个信号相似, 不再给出。由两图可见, EN-MUSIC 与 2D-NC-UESPRIT 的测向精度大体相当, 而两者的方位和俯仰测角精度在信噪比和快拍数变化时均优于 DOAM。

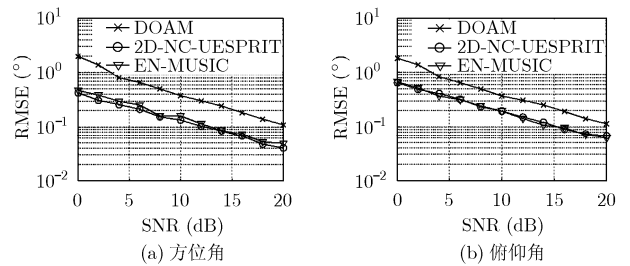


图 3 测角精度与 SNR 的关系

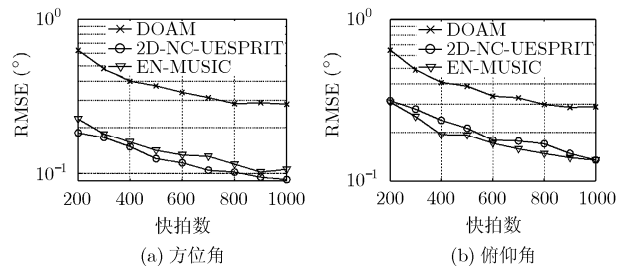


图 4 测角精度与快拍数的关系

6 结束语

提出了用于非圆信号二维方向和初相联合估计的扩展 MUSIC(EN-MUSIC)算法。EN-MUSIC 算法利用双平行线

阵的阵列结构将非圆信号测向的 NC-MUSIC 算法进一步扩展,估计得到的方位角、俯仰角和信号初相一一对应,自动配对。EN-MUSIC 算法可对多于子阵阵元数的信号进行测向,方位和俯仰测角精度与 2D-NC-UESPRIT 大致相当,优于波达方向矩阵法(DOAM),而且可以处理俯仰角相同的信号。仿真实验验证了 EN-MUSIC 算法的上述优良性能。

参 考 文 献

- [1] Abeida H and Delmas J P. MUSIC-like estimation of direction of arrival for noncircular sources [J]. *IEEE Trans. on Signal Processing*, 2006, 54(7): 2678-2690.
- [2] Haardt M and Romer F. Enhancements of unitary ESPRIT for non-circular sources [C]. *IEEE Proc. Int. Conf. Acoustics, Speech, Signal Processing (ICASSP)*, Montreal, QC, Canada, May 17-21, 2004, vol. II: 101-104.
- [3] Charge P, Wang Y, and Saillard J. A noncircular sources direction finding method using polynomial rooting [J]. *Signal Processing*, 2001, 81(6): 1765-1770.
- [4] Roemer F and Haardt M. Efficient 1-D and 2-D DOA estimation for non-circular sources with hexagonal shaped espar arrays [C]. *IEEE Proc. Int. Conf. Acoustics, Speech, Signal Processing (ICASSP)*, Toulouse, France, May, 2006, vol. IV: 881-884.
- [5] Delmas J P. Asymptotically minimum variance second-order estimation for noncircular signals with application to DOA estimation [J]. *IEEE Trans. on Signal Processing*, 2004, 52(5): 1235-1241.
- [6] Delmas J P and Abeida H. Stochastic Cramer-Rao bound for noncircular signals with application to DOA estimation [J]. *IEEE Trans. on Signal Processing*, 2004, 52(11): 3192- 3199.
- [7] 殷勤业, 邹理和, and Newcomb R W. 一种高分辨率二维信号参量估计方法——波达方向矩阵法[J]. *通信学报*, 1991, 12(4): 1-7, 44.
- Yin Q Y, Zou L H, and Newcomb R W. A high resolution approach to 2-D signal parameter estimation—DOA matrix method [J]. *Journal of China Institute of Communications*, 1991, 12(4): 1-7, 44.
- 刘 剑: 男, 1978年生, 助教, 博士生, 研究方向为阵列信号处理、综合电子战。
- 黄知涛: 男, 1976年生, 副教授, 主要研究方向为循环平稳信号处理、综合电子战。
- 周一宇: 男, 1948年生, 教授, 博士生导师, 主要研究方向为综合电子战。